

Q3

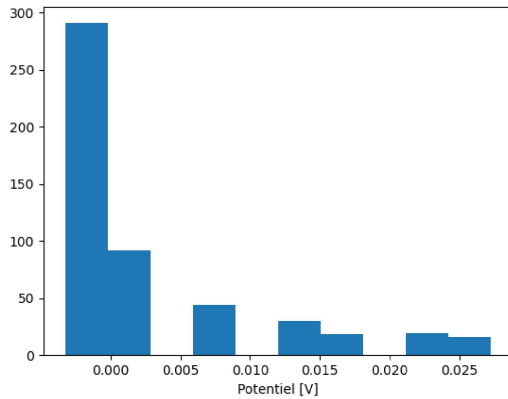


FIGURE 1 – Histogramme des mesures de différence de potentiel dans la plage $\pm 10V$ avec des tiges d'inox et d'aluminium.

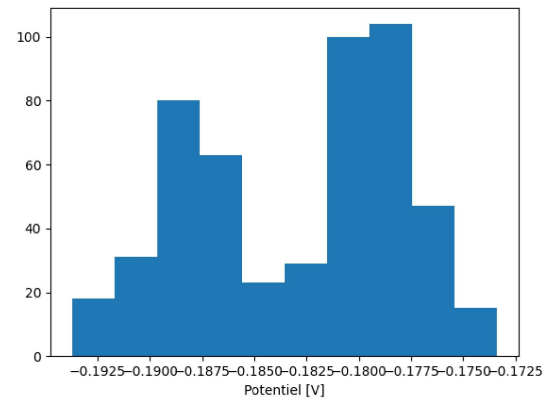


FIGURE 2 – Histogramme des mesures de différence de potentiel dans la plage $\pm 1V$ avec des tiges d'inox et d'aluminium se rapprochant le plus du modèle de la loi normale.

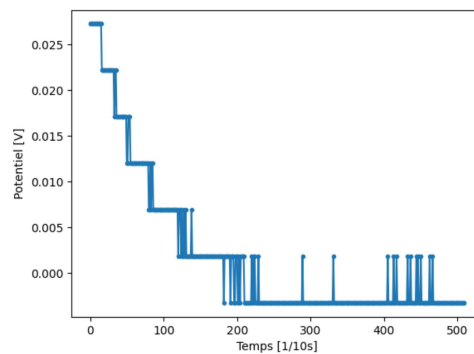


FIGURE 3 – Graphique des mesures de différence de potentiel dans la plage $\pm 10V$ avec des tiges d'inox et d'aluminium sur lequel il est facile de voir le manque de stabilité.